Adsorption News

Vol. 38, No. 1 (April 2024)

通巻 No.148

目 次

○巻頭言
○学術賞受賞記念寄稿······3 「吸着ミクロカロリメトリーを中心とした多孔性固体表面 への吸着機構の解明」 松本 明彦
○技術賞受賞記念寄稿·······12 「ヘリュームガスを使用しない高精度マノメトリック式ガス吸脱着量測定装置の開発」 重岡 俊裕、仲井 和之
○関連学会のお知らせ17
○維持会員一覧19

日本吸着学会 The Japan Society on Adsorption

巻 頭 言

吸着学会の若手研究者に期待します

マイクロトラックベル㈱ 仲井 和之



吸着学会の皆様、こんにちは。

マイクロトラックベルは、日本ベルとして創業し36年が経過しました。当初私は大学卒業したてで、右も左もわからない中がむしゃらに頑張ってきました。時がたつのも早いです。

創業当時は無機材料の合成における材料の比表面積・細孔分布測定という限られた知識で始まりましたが、同時に吸着学会が設立され、化学工学における吸着技術の応用・工業化を勉強でき、吸着速度や分離の重要性を学びました。材料開発も、活性炭・ゼオライトから、カーボンナノチューブ、メソポーラスシリカ、PCP/MOFと新規多孔性材料が日本において開発され、吸着分離性能の向上が期待されて来ました。そして近年では2025年カーボンニュートラルに向け、DAC、CCS、CCUS等の分離回収そしてエネルギーや機能性材料の合成という地球の将来に向けた重要な技術となってきたこと大変うれしく思います。

弊社においてはこれら材料および吸着工学の発展と 共に吸着分析技術の向上を続け、4回になる吸着学会 技術賞の受賞、私自身は奨励賞をいただき、そして昨年のチャリティにおいては、これからの学生の国際貢献に向けた寄付を行えた事、学会と常に寄り添えたことを嬉しく思っています。本基金は、学生の教育支援の一環として国際会議参加費補助として寄付させいただきました。ただ単に渡航参加・教育支援ということとだけではなく、日本の吸着技術の高さを世界の会議で議論しより将来に重要となる吸着技術に伸ばしていただければと思います。

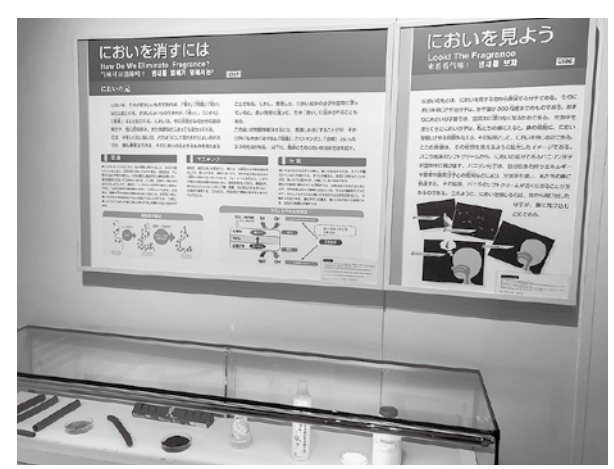
私の会社における社員に向けた言葉として"出る杭になる"があります。これは、指示待ち人間にならず、自身で判断し、恥ずかしがらず発言提案をしてほしい思いが含まれています。またさらに私の失敗の経験の上に基づいた言葉でもあります。失敗を恐れず意見を出し行動すればおのずから結果が出ます。先日の日本初の民間ロケットは打ち上げ失敗に終わりましたが、その社長は失敗という言葉は使わないと言っています。私も同感です。行動して出てきた結果を楽しみましょう。できなかったことも結果であり、それが次の成功にかならずつながります。失敗を恐れず出る杭となり、行動し、失敗を数々経験し、諦めず目的を追いかければかならず成果が出てきます。

また将来の目標は持つことに越したことはありませんが、必ずしも必要ではないと思います。いろんなことに興味を持ち挑戦して行けば、知らないうちに目標ができてきます。また夢のような目標も達成できます、そして次の目標を作り追い続けてください。それらが

みんな歩んできた道であり、頑張りが成果となってきます。他人に頑張れという言葉よりも、自信を頑張らせるのは難しく私も挫折しかけること多々ありました。ただそれを支えてきてくれたのは仲間です。

学会もコロイド学会、化学工学会の吸着研究者が集まり創設された吸着学会、そしてイオン交換学会や今年はゼオライト学会との共同研究発表会が計画されています。このような違うグループとの接点は仲間を増やす絶好の機会です。積極的に参加し異業種交流楽しみましょう。

おじさんの経験談と若手への期待を書いた巻頭言となりましたが次世代の研究者の励ましとなり、吸着学会のますますの発展につながればと祈念します。これからも学会参加させていただきますのでご指導ご鞭撻のほどよろしくお願いします。



大阪科学技術館における吸着を説明する展示

氏名 仲井 和之

所属 マイクロトラックベル(株) 代表取締役社長

略歷 1987年 3月 関西学院大学大学院理学研究科修士課程卒業、2001年博士(理学)

取得

1987年 4月 日本エム・ケー・エス㈱入社

1988年4月 日本ベル(株)設立 取締役技術部長

2007年6月) 独理化学研究所客員研究員

2008年4月 信州大学 客員教授

2010年4月 日本ベル(株) 代表取締役社長

2014年 10月 マイクロトラック・ベル(株) 現職

2021年 1月 ヴァーダーサイエンティフィック(株) 代表取締役社長

学術賞受賞記念寄稿

吸着ミクロカロリメトリーを中心とした 多孔性固体表面への吸着機構の解明

The study on the adsorption mechanism of porous solids by adsorption microcalorimetry combined with microscopic characterisation

豊橋技術科学大学大学院工学研究科応用化学·生命工学系 Department of Applied Chemistry and Life Science

松本 明彦

MATSUMOTO Akihiko

1. はじめに

この度は日本吸着学会学術賞を授与頂き大変名誉に 存じております。児玉会長をはじめこれまで本会で共 に活動下さいました会員の皆様、関係各位に深く感謝 申し上げます。

私が現在の研究につながる「吸着」の研究をきちん と始めたのは大学院博士課程のときでした。指導教官 の金子克美先生から頂いたメインテーマはシリカ・酸 化鉄を高表面積な活性炭素繊維上に安定に展開し、こ れらの酸化物の高表面積表面を創製しようというもの でした13)。大学院博士課程を修了してイギリスの原 子力公社の Harwell研究所の John Ramsay博士の研究 室で1年間コロイド分散系、活性炭素繊維の中性子散 乱・回折の研究に従事しました。イギリスから戻って 豊橋技術科学大学の堤和男教授の主宰する複合材料工 学研究室に助手(仕事内容はいまの助教とほぼ同じ) として着任し、自分の扱ってきた活性炭素にゼオライ トを加え、吸着特性化法としてそれまで扱っていた分 光法に吸着ミクロカロリメトリーを加えて研究を始め ました。遅ればせながらこの年に日本吸着学会に入会 しました。研究室で吸着をテーマにした研究を続けて 5年が経過したときに、文部省在外研究員としてドイ ツマインツ大学の Klaus Unger教授の研究室で約6箇 月間研究する機会を得いただきました。ちょうどメソ 多孔性シリカが注目されてきた時期であり、もともと 多孔性シリカの研究で知られていた Unger先生のと ころで研究できたのは願ってもない機会でした。あち らでは必死に研究し、充実したときを過ごしました。 Unger先生は滞在を延長するよう薦めてくださいまし たが、日本に帰って本会の事務局を担当しました。そ れ以来、本会会員を含む多くの方々と交流をしながら 今日に至りました。

日本吸着学会は、吸着というキーワードで集った実に広い分野の方で構成され、毎年の研究発表会ではさ

まざまな広い分野の研究が発表されます。しかし広い分野とはいえ、それぞれの時期に"流行り"があり、中心となるトピックスが代わっています。私はゼオライト、メソ多孔性シリカ、活性炭素、多孔性有機金属錯体などの気体の吸着特性を、吸着ミクロカロリメトリーによる吸着エネルギーの直接測定という巨視的な測定と、X線回折や赤外分光、固体核磁気共鳴などの分光学を使った微視的な手法を用いて特性化することで、吸着機構の解明を行ってきました。本稿では授賞対象となった一連の研究と吸着ミクロカロリメトリーを用いた吸着の特性化の好例について紹介したいと思います。

2. 研究事例

多孔性固体による気体の選択的な吸着は、気体の分 離・精製において不可欠な手段である。吸着を利用す るプロセスに用いる、あるいは利用が期待される多孔 性固体であるゼオライト⁴⁾、多孔性シリカ^{5,6)}、多孔 性有機金属錯体 MOF $^{7)}$ 、活性炭素 $^{8,9)}$ などは、それ ぞれの物質の表面化学組成、細孔構造が異なり、分 離・精製気体の特性に応じて選択する。吸着の評価は 吸着等温線の測定で行われることが多い。吸着等温線 測定は、最も一般的な吸着の評価法であるが、吸着の 強さについての直接的な情報を与えない。赤外分光、 核磁気共鳴などの分光測定は吸着質や固体表面の状態 を微視的に調べることができるため、吸着・反応機構 を理解する上で重要である。しかし、吸着や表面での 反応にかかわるエネルギー的特性については情報を与 えない。吸着は固体表面-吸着質分子間の相互作用に より起こり、エネルギー的特性の大小に応じて必ず系 との熱のやりとりがある 10-12)。物理吸着は熱力学的に 発熱過程であり、化学吸着の場合は反応エンタルピー も含めて吸着熱として観察される。このため微分吸着 熱を測定すれば、表面-吸着質問の相互作用や表面の 化学構造、細孔構造が吸着に及ぼす影響についての情 報を直接的に得ることができる。

2.1. アルカンのスリット型ミクロ孔への吸着

多孔性固体表面に分子が吸着する場合、細孔径と分子径が吸着に影響する。細孔径が吸着分子の直径の2倍以下になると、細孔内周囲の細孔壁と吸着分子間の相互作用ポテンシャルが強調されて、吸着分子は平坦あるいは細孔径が大きな細孔内に吸着するときよりも強く吸着するミクロ孔充填(micropore filling)で吸着が進行する。活性炭素繊維(ACF)は細孔径が均一でスリット形の細孔を有し、合成条件により細孔径を制御できる。これに着目し、細孔径が系統的に異なるピッチ系活性炭素繊維(P-7~20)を用いて、細孔径の違いによるアルカンー細孔壁の相互作用の違いを吸着ミクロカロリメトリーで特性化した8)。

実験に用いた ACFと細孔特性を表 1に示す。P-7から P-20に細孔径が大きくなるにつれて比表面積、細

孔容量、細孔径ともに系統的に増加しており、何れの 試料も tプロット法で解析すると均一な細孔径を持っ ている。これに炭化水素が吸着する場合、単純に窒素 と同じように吸着して Gurvich則に従うと考えれば、 細孔径が大きい ACFほど吸着量は多いはずであり、 さらに吸着質が同じなら細孔径が小さいほど、細孔径 が一定なら大きな分子ほどミクロ孔充填が強く起きる と予想される。

これらの ACFのヘキサン(C_6H_{12})の吸着等温線を 測定してみると図 1に示すように、ヘキサンの飽和吸 着量は P-7から P-20まで細孔径が増大するに従い増加 した。飽和吸着量と細孔径の関係は他の炭化水素(R-オクタン、ネオペンタン、シクロヘキサン、ベンゼ ン)吸着も同様の傾向を示した。

へキサンの飽和吸着量から求めた細孔容量は、Gurvich則に従わず、細孔径 0.7 nmの P-7では窒素から求めた細孔容量より大きく、その他の ACFでは逆に小さかった。ただし傾向としては細孔径が小さい ACFほど細孔内にヘキサンが密に吸着していた。窒素に比べて嵩張るヘキサンが P-7に密に吸着するのは、ミクロ孔内の細孔壁と吸着分子のポテンシャルの重畳による吸着の強調が起きているためと考えられる。もしそうなら、吸着熱に差があるはずである。

果たして図2に示すように、P-7へのヘキサンの微分吸着熱は他のACFと比べて大きかった。P-7の微分吸着熱は吸着量が少ない領域で、80 kJ/molであり、同程度の吸着量で比較すると、他のACFの1.3~1.8倍であった。また、吸着量が1.2から2.8 mmol/gの範囲で73 kJ/molの微分吸着熱を示したのち、吸着量

表 1 細孔径が異なる ACFの窒素吸着等温線 (77 K) を tプロット法で解析して求めた活性炭素繊維の細孔特性

Sample	Surface area /m² g-1	Pore volume /mL g ⁻¹	Pore width /nm
P-7	870	0.29	0.7
P-10	1350	0.56	0.9
P-15	1850	0.96	1.0
P-20	2000	1.06	1.5

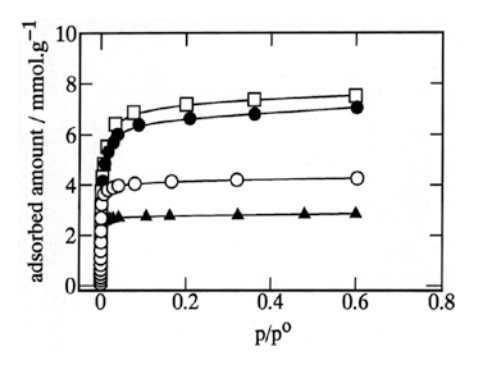


図 1 ACFへのヘキサンの吸着等温線 (303 K) ▲、P-7; ○、P-10; ●、P-15; □、P-20

2.8 mmol/g以上で急激に減少した。この吸着量は吸着等温線の明瞭な"膝 (knee)"つまり細孔充填量に対応する。微分吸着熱の73 kJ/molは、101.3 kPaでのヘキサンの沸点(341.9 K)での凝縮熱の28.9 kJ/molよりはるかに大きく、細孔内にヘキサンが強いポテンシャルで吸着しているのがわかる。これに対して、P-7よりも細孔径が大きくなるにつれて吸着初期での微分吸着熱が低くなる。また、吸着量が増加して細孔が充填すると微分吸着熱は40 kJ/mol程度で一定になった。

ACFのスリット型細孔の内表面は、黒鉛の基底面が支配的であり、分子の吸着では Steele 10-4-3ポテンシャルで見積もることができる。細孔径が異なるそれぞれの ACF内にあるヘキサン分子の細孔内の相互作用ポテンシャルを見積もると図 3のようになり、例えば P-7と P-10のポテンシャルの極小値で比較すると、P-7が P-10より 1.4倍程度深い。これは微分吸着熱を直接測定した図 2の微分吸着熱の初期において P-7が P-10の 1.3倍という傾向とよく一致する。

このように、吸着ミクロカロリメトリーは吸着量の 大小を議論するだけでなく、吸着の"強弱"を定量的

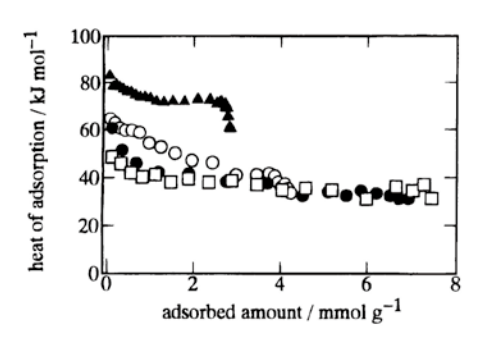


図 2 ACFへのヘキサンの微分吸着熱 (303 K) ▲、P-7; ○、P-10; ●、P-15; □、P-20

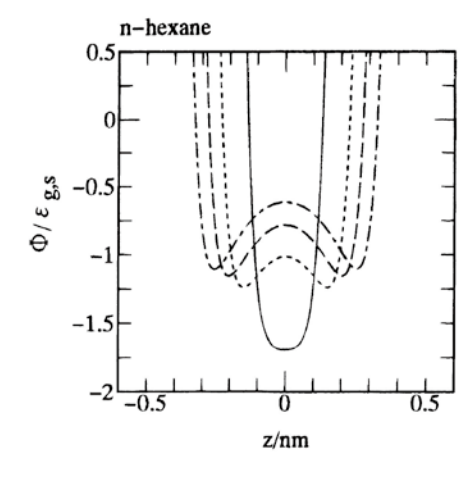


図3 吸着したヘキサン分子と細孔壁との相互作用ポテンシャルプロファイル。縦軸はヘキサン分子 1個と壁の相互作用ポテンシャルΦを 1対のヘキサン分子と炭素原子間の Lennard-Jones ポテンシャル $\epsilon_{\rm gs}$ で規格化した値。実線、P-7;点線、P-10;破線、P-15;一点鎖線、P-20

に調べる、非常に有効な手段であることが分かる。

2.2 水吸着過程での多孔性固体の表面化学組成の変化と吸着への影響

メソ多孔性シリカ FSM-16は、規則的な一次元細孔 (二次元六方構造)を有し、細孔径が2nm以上と大き いため、気体分子が細孔内に拡散し易く、迅速な物質 分離、大きな分子の吸着、触媒等への応用が期待され ている。FSM-16の合成は、まず層状ケイ酸塩カネマ イト Kanemite(NaHSi₂O₅・3H₂O)の Na⁺をカチオ ン界面活性剤水溶液中でイオン交換する。層間に導入 された界面活性剤ミセルが構造規制剤となり、その周 りをケイ酸塩層が規則的に折れ曲がって取り囲んでケ イ酸塩 - 界面活性剤複合体ができる。これをか焼して 界面活性剤を分解除去して FSM-16が得られる。しか し、メソ多孔性シリカの細孔構造は規則的だが、細孔 壁のシリカ骨格は無定形である。また、合成の最終過 程のか焼で生じたシロキサン架橋は、シラノール基ほ ど親水的ではないが、水が吸着して加水分解する(■ Si-O-Si≡+H₂O→≡Si-OH+HO-Si≡)。この結果、 細孔の一部が壊れて比表面積、細孔容量が減少する。 また、シラノール基が生成する結果、吸着特性が変化 する。この変化の機構を水の吸着等温線、微分吸着熱 の測定と²⁹Si-MAS-NMR、in-situ IRを利用して調べ た50。水吸着の履歴が無い FSM-16の水吸着等温線は、 図4に示すように、IUPAC V型となり、相対圧(b/ p_{o})<0.5では下に凸の疎水的な挙動を示す。0.5 < p/p。<0.6で毛管凝縮が起こり、吸着量が急激に増加する。 1回目の水吸着後、573Kで10h真空脱気してから2回 目の水吸着を行った。573Kは近接するシラノール基 が脱水縮合してシロキサンになる温度である。表面が シロキサンでおおわれていれば1回目と同じような疎 水的な挙動を示すはずだが、2回目に測定した水吸着 等温線は低相対圧から水がよく吸着する親水的な IV 型となり、毛管凝縮による水吸着量の増加は、1回目

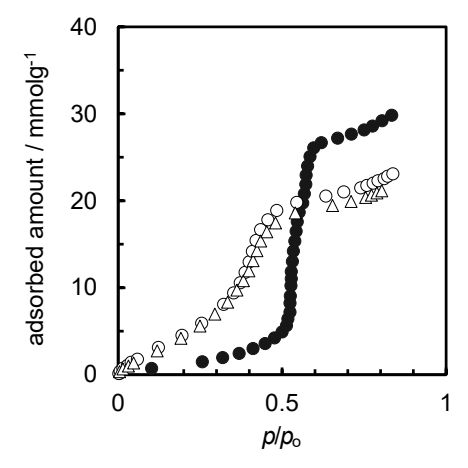


図4 FSM-16の水吸着等温線(298 K)。

●、吸着 1回目(298 K, 10 h脱気後);□、2回目(573 K同);△、3回目(823 K同)

の吸着より低相対圧の $p/p_0=0.3\sim0.5$ で起こる。ただし、 この毛管凝縮の傾きは、1回目より緩やかであり、毛 管凝縮が終わるときの吸着量は1回目の27 mmol/gよ りも少なく、20 mmol/gである。2回目の吸着で親水 的な挙動を示したのは、1回目の水吸着により、表面 のシロキサンが加水分解して生成したシラノールが加 熱前処理後も残り、そこに水が水素結合により吸着が おこり、その吸着水にさらに水が吸着するからである。 細孔壁に吸着した水の厚みで細孔径が減少する結果、 1回目の吸着よりも低相対圧で毛管凝縮が起きる。ま た、細孔の一部が1回目の水吸着で壊れたため細孔径 が一定でなくなり、毛管凝縮のステップが緩やかにな るとともに細孔容量が減少する。この2回目の吸着測 定の後に823 Kで真空脱気して測定した3回目の水吸 着では、吸着等温線の形は2回目とほとんど変わらず わずかに吸着量が減少するだけで、親水的な表面への 吸着が起きている。

FSM-16の合成時に構造規制剤の役割をする界面活性剤は、最後にか焼によって加熱分解・燃焼して除去する。このときにシリカ骨格末端に多数残っていたシラノール基が脱水縮合してシロキサンに変化する。その際に細孔壁を構成するシロキサン架橋の結合角に歪が生じる場合があり、これらが1回目の水吸着で加水分解して開裂すると、お互いの距離が離れたシラノール基が生じる。これらは互いに孤立して存在することになり、加熱しても再び脱水縮合しない。その結果、2度目以降はこの孤立シラノール基が水蒸気と水素結合して親水的な吸着挙動を示す。

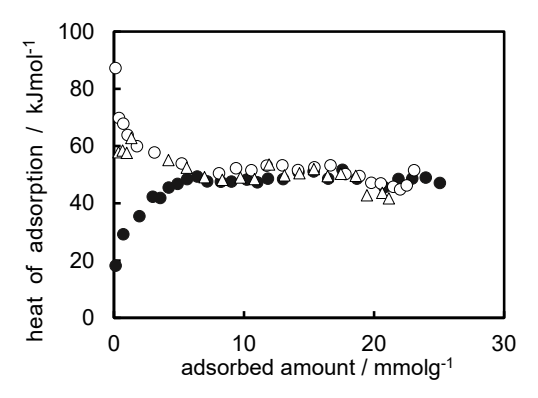


図5 FSM-16の微分吸着熱(298 K)。

●、吸着 1回目(298 K, 10 h脱気後); □、2回目(573 K同); △、3回目(823 K同)

管凝縮するとみられる。一方、2、3回目の吸着では表面に孤立シラノール基が残っているため、吸着初期から親水的な吸着挙動を示し、 $p/p_{o}\sim0.35$ で毛管凝縮が始まる。吸着初期の微分吸着熱は2回目の吸着時が87 kJ/mol、3回目が57 kJ/molで、何れも水分子と表面シラノールの水素結合による。微分吸着熱は吸着量の増加とともに漸次50 kJ/mol程度まで減少し一定となる。

FSM-16の²⁹Si MAS NMRスペクトルは、図 6に示 すように、-111 ppmと -102 ppmにシグナルが観測さ れ、それぞれ Q^4 (Si(-O)₄) と Q^3 (HO-Si(-O)₃) に帰属 される。つまり FSM-16は Q⁴と Q³の環境にある Siか ら構成されている。ただし、FSM-16は水吸着前後で Q⁴と Q³の環境にある Siの割合が変化し、水吸着に伴 い、全Siに対するQ³のSiの割合が0.20から0.28に増 加し、シラノール基を持つ Siの割合が増える。in-situ 拡散反射 IR測定結果から、吸着前の FSM-16では孤立 シラノール基に帰属される吸収帯が3750 cm⁻¹に観察 される。これは²⁹Si-MAS-NMRのQ³のシグナルを与 えたものである。しかし水が吸着するとその吸収帯の 強度が増加するとともに、新たに3100~3450 cm⁻¹ (吸着水の O-H伸縮振動) と 3700 cm⁻¹付近に (隣接 するシラノール基の OH伸縮振動) が観察される。 823 Kで加熱真空脱気処理を行うと、3750 cm⁻¹の吸収 帯の強度は一定である一方で、吸着水と隣接シラノー ル基に帰属される O-H伸縮振動の吸収帯は消滅した。 このことから、水の吸着過程で孤立シラノール基と隣 接シラノール基が生成し、このうち孤立シラノール基 はその後の加熱真空脱気でも安定に存在することが分 かった。

このように、メソ多孔性シリカの表面は水吸着によ

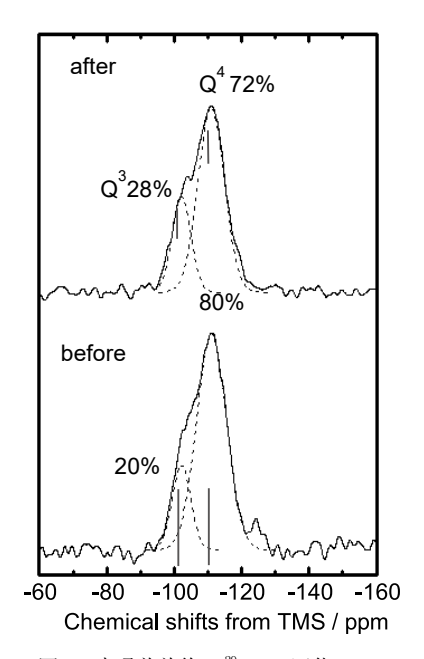


図 6 水吸着前後の ²⁹Si-MS固体 NMR 下:吸着前;下、吸着後

り、シロキサン架橋の加水分解が起こりシラノールを 生成する。そして一旦加水分解が起きると、加熱脱気 しても元の構造には戻らない。メソ多孔性シリカは均 一な構造のメソ孔を持つことが特徴であるが、水吸着 に対して細孔構造と表面の化学的な構造が変化するこ とが特徴である。

2.3 多孔性シリカ表面のシリル化による吸着活性の制御

前節で示したように、メソ多孔性シリカは水吸着に より細孔壁のシロキサンが加水分解して細孔構造が壊 れる。そこで表面シラノール基をシランカップリング 剤でシリル化して他の官能基を固定し、表面への安定 性、選択吸着性、反応性の賦与が試みられている。こ こでは、表面シリル化によるメソ多孔性シリカの疎水 安定性化とアセトアルデヒド吸着性の賦与を試み、得 られた試料を微分吸着熱測定と分光法で特性化した⁶⁾。 メソ多孔性シリカ MCM-48は規則的な立方細孔構 造 Ia3dを持つ 13)。3次元細孔を持ち、物質の細孔内拡 散が 1次元細孔の FSM-16や MCM-41よりも有利であ るため、クロマトグラフィーの固定相、触媒への応用 が期待できる。この MCM-48表面をシランカップリ ング剤のn-オクチルジメチルクロロシラン(ODCS; n-C₈H₁₇-SiCl₃) あるいは3-アミノプロピルトリエトキ シシラン (APTES; H₂N-C₃H₆-Si(OCH₃)₃) でシリル化 した。オクチル基で修飾した試料を MCM-48-C8、3-

MCM-48は図7に示すような Ia3dに帰属される細孔構造が X線回折パターンで観察される。シリル化後の試料の X線回折パターンは MCM-48とピーク強度が異なるが同一であり、シリル化後も規則的細孔構造が保持されていることが分かる。 MCM-48の窒素吸着等温線は、図8に示すように IV型でありメソ細孔が存在することを示す。これに対してシリル化試料はMCM-48よりも低い相対圧で毛管凝縮が始まる。これは、シリル化により細孔内表面に大きな官能基が固定化され、細孔径が狭くなったことを示唆する。表2に

アミノプロピル基で修飾した試料を MCM-48-NH₂と

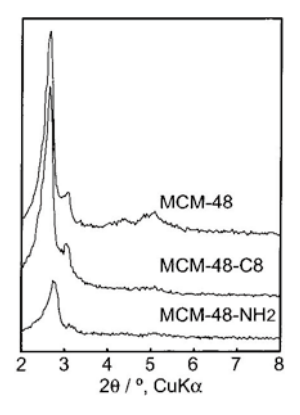


図7 MCM-48、MCM-48-C8、MCM-48-NH₂の X線回折パターン

する。

表2 MCM-48とシリル化試料の特性

Comple	Specific surface area	Median pore diameter	Mesopore volume	Anchored gro	oup density
Sample	$/\mathrm{m}^2~\mathrm{g}^{\text{-1}}$	/nm	/mL g ⁻¹	/groups nm ⁻²	/mmol g ⁻¹
MCM-48	1200	2.4	1.1	-	-
MCM-48-C8	1100	1.6	1.0	0.8	1.7
MCM-48-NH ₂	710	1.8	0.6	0.8	1.7

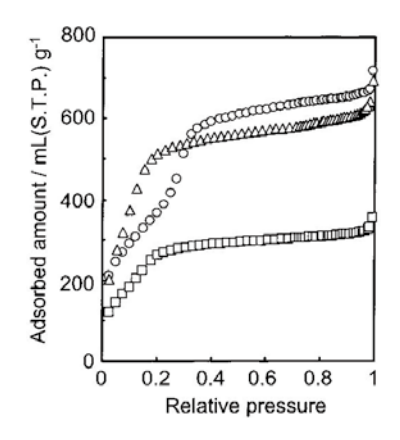


図8 MCM-48、MCM-48-C8、MCM-48-NH₂の窒素吸着等温線。 ○、MCM-48; △、MCM-48-C8; ◇、MCM-48-NH₂

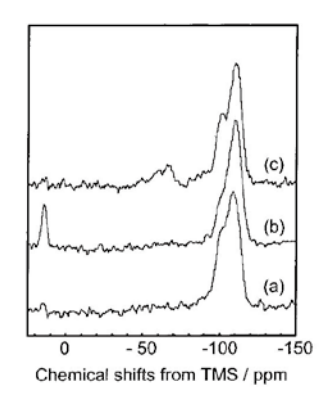


図 9 MCM-48、MCM-48-C8、MCM-48-NH $_2$ の 2 Si MAS NMR スペクトル。(a) MCM-48、(b) MCM-48-C8、(c) MCM-48-NH $_2$ 。 シグナルの帰属: -100 ppm、Siにシロキサン架橋 3つとシラノール 1つが結合(Q^3); -110 ppm、Siにシロキサン架橋 4つが結合(Q^4): 14 ppm、Siにオクチル基が 1つ、メチル基が 2つ、シロキサン架橋 1つが結合; 49 ppm、Siがアミノプロピル基、シラノールあるいはエトキシ基、1つのシロキサン架橋が結合

窒素吸着等温線から求めた、各試料の細孔特性と、元素分析と窒素比表面積から見積もったシリル基の密度を示す。図9に示すように²⁹Si MAS NMR測定から、いずれの試料もシリル基が表面に固定化していることを確認した。

MCM-48の水吸着等温線は、図 10に示すように 1回目の吸着では IUPAC V型となり、0 < p/p。< 0.42では p/p。の増加とともにほぼ直線的に吸着量が増加し、p/p。= 0.42から毛管凝縮がおこる。しかし 1回目の水吸着後、1 mPa、423 Kで 12 h脱気後に 2回目の水吸着を行うと、FSM-16と同様に 1回目より低相対圧のと

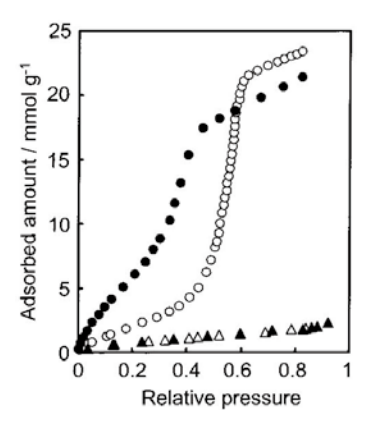


図 10 MCM-48 (○、●) と MCM-48-C8 (△、▲) の水吸着 等温線。記号の白抜きは 1回目の吸着を、黒塗りは 2回目の吸 着を示す。

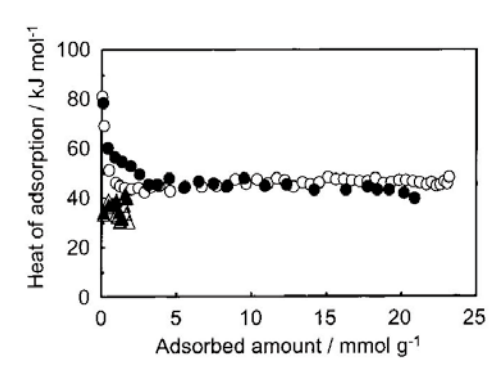


図 11 MCM-48 (○、●) と MCM-48-C8 (△、▲) への水の 微分吸着熱。記号は図 10と同じ。

きの吸着量が大きく、 $0.3 < p/p_o < 0.4$ で毛管凝縮が起きる。毛管凝縮が終了したあとの吸着量は 1回目より 3 mmol/g程度少なく、表面が親水的に変化したことと併せて、細孔の一部が壊れたためである。一方、MCM-48-C8の水吸着等温線は、1回目、2回目ともHenly型であり、 $0 < p/p_o < 0.95$ の領域で殆ど吸着が起きない疎水的な挙動を示した。n-4 0.95 0.95 0.95 0.95 0.95 0.95 0.95 0.95 0.95 0.95 0.95 0.95 0.95 0.95 0.95 0.95 0.95 0.95 0.95 0.95 0.95 0.95 0.95 0.95 0.95 0.95 0.95 0.95 0.95 0.95 0.95 0.95 0.95 0.95 0.95 0.95 0.95 0.95 0.95 0.95 0.95 0.95 0.95 0.95 0.95 0.95 0.95 0.95 0.95 0.95 0.95 0.95 0.95 0.95 0.95 0.95 0.95 0.95 0.95 0.95 0.95 0.95 0.95 0.95 0.95 0.95 0.95 0.95 0.95 0.95 0.95 0.95 0.95 0.95 0.95 0.95 0.95 0.95 0.95 0.95 0.95 0.95 0.95 0.95 0.95 0.95 0.95 0.95 0.95 0.95 0.95 0.95 0.95 0.95 0.95 0.95 0.95 0.95 0.95 0.95 0.95 0.95 0.95 0.95 0.95 0.95 0.95 0.95 0.95 0.95 0.95 0.95 0.95 0.95 0.95 0.95 0.95 0.95 0.95 0.95 0.95 0.95 0.95 0.95 0.95 0.95 0.95 0.95 0.95 0.95 0.95 0.95 0.95 0.95 0.95 0.95 0.95 0.95 0.95 0.95 0.95 0.95 0.95 0.95 0.95 0.95 0.95 0.95 0.95 0.95 0.95 0.95 0.95 0.95 0.95 0.95 0.95 0.95 0.95 0.95 0.95 0.95 0.95 0.95 0.95 0.95 0.95 0.95 0.95 0.95 0.95 0.95 0.95 0.95 0.95 0.95 0.95 0.95 0.95 0.95 0.95 0.95 0.95 0.95 0.95 0.95 0.95 0.95 0.95 0.95 0.95 0.95 0.95 0.95 0.95 0.95 0.95 0.95 0.95 0.95 0.95 0.95 0.95 0.95 0.95 0.95 0.95 0.95 0.95 0.95 0.95 0.95 0.95 0.95 0.95 0.95 0.95 0.95 0.95 0.95 0.95 0.95 0.95 0.95 0.95 0.95 0.95 0.95 0.95 0.95 0.95 0.95 0.95 0.95 0.95 0.95 0.95 0.95 0.95 0.95 0.95 0.95 0.95 0.95 0.95 0.95 0.95 0.95 0.95 0.95 0.95 0.95 0.95 0.95 0.95 0.95 0.95 0.95 0.95 0.95 0.95 0.95 0.9

MCM-48の水の微分吸着熱は、図 11に示すように、 1回目の吸着では、吸着量が 0.1 mmol/g付近で 80 kJ/mol程度の高い熱を発生した後、吸着量の増加ととも に急激に減少し、吸着量が 0.98 mmol/gのとき 45 kJ/mol程度で一定になった。一方、2回目の吸着では、吸着量が 3.2 mmol/g以下で緩やかに微分吸着熱が減少して一定になった。この緩やかな微分吸着熱の減少は、細孔内のシラノールと水の相互作用にエネルギー分布があることを示しており、多分子層吸着から毛管凝縮する領域での微分吸着熱の値は、水の凝縮熱 40.6 kJ/molに近く、細孔内で水に近い状態で存在すると考えられる。一方、MCM-48-C8の微分吸着熱は 30~ 40 kJ/mol程度であり、MCM-48の微分吸着熱より小さい値であった。この結果も MCM-48-C8の疎水的性質を裏付けている。

アセトアルデヒド (AcH) は室内濃度指針値 $(0.03 \, \mathrm{ppm}, \, 48 \, \mu \mathrm{g/m}^3)$ が定められている物質であり、室内空気からの除去が望まれている。アミンはアルデヒドと 1対 1で反応してイミンを生成する (図 15参照)。 MCM-48の AcHの吸着等温線は図 12に示すように IV型を示し、吸着量は平衡圧 (p_{e}) の増加に伴い増加し、 p_{e} =36 kPa ~ 50 kPaで毛管凝縮が起こり、12 mmol/gで細孔充填が完了してほぼ一定になる。これに対応する MCM-48の微分吸着熱 (図 13) は、吸着初期で表面シラノールとアルデヒド基の水素結合により 49 kJ/

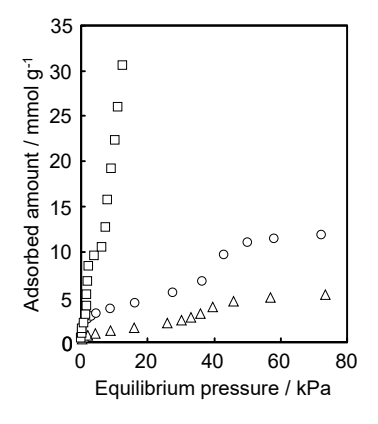


図 12 MCM-48とシリル化 MCM-48のアセトアルデヒド吸着等 温線 (298 K)。○、MCM-48;□、MCM-48-NH₂;△、MCM-48-C8.

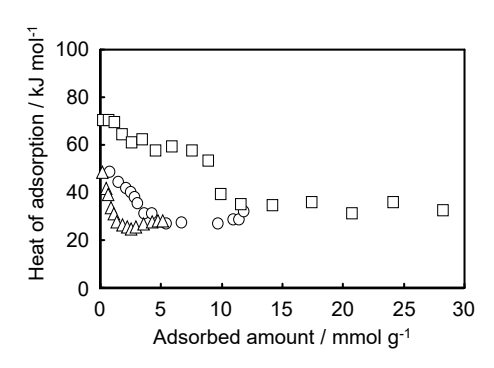


図 13 MCM-48とシリル化 MCM-48のアセトアルデヒドの微分 吸着熱(298 K)。○; MCM-48、□; MCM-48-NH₂、△; MCM-48-C8.

molの発熱を示すが、吸着量の増加とともに漸次減少 し、毛管凝縮の始まる~6 mmol/gで 30 kJ/mol程度 になる。この値は AcHの液化熱 (27.2 kJ/mol) 程度 のため、AcHはバルク液体に近い状態で毛管凝縮す るとみられる。一方、MCM-48-C8の吸着等温線は、 試料表面が疎水性のため AcH吸着量が MCM-48より 低く、微分吸着熱も吸着初期で48kJ/molであり、吸 着量の増加とともに直ちに25kJ/mol程度に減少した。 一方、MCM48-NH₂は p_e<10 kPaの低圧でも AcHを極 めて多量に吸着し、等温線は p_e =0.88, 0.238, 6.23 kPa に変曲点を示した。 p_s =0.88での吸着量は、元素分析 から求めた表面上の3-アミノプロピル基(AP基)の 量 (1.7 mmol/g) に一致した。もし、AP基と AcHが 1対 1で反応しイミンを生成するなら、すべての AP基 は化学吸着してしまい、あとは物理吸着するため、微 分吸着熱は液化熱に近くなると考えられるが、実際は 0.88 kPa<p_e<2.38 kPaで も 吸 着 量 は 増 加 し、 *p。*=2.38 kPaで 8.4 mol/gに達するまで高い発熱が続い た。このため MCM-48-NH₂表面への AcHの吸着では イミンの生成は考え難い。また、この吸着量8.4 mmol/ gは仮に吸着した AcHあるいは反応生成物が AcHの 液相に近い密度を持つとして、液体 AcHの密度を用 いて容量換算すると 0.53 mL/gに相当し、窒素細孔容 量 $0.6 \, \text{mL/g}$ とよく一致した。従って p_e = $2.4 \, \text{kPa}$ で AcHの細孔充填が完了することが示唆される。AcH 吸着量は 2.4 kPa<peでも急激に増加し続け、pe~ 10 kPaで 30 mmol/g以上に達した。MCM48-NH₂の微 分吸着熱は、図13に示すように、吸着量が1mmol/g 以下のときでも 70 kJ/molと高く、吸着量が 8.4 mmol/ gになるまで53~64 kJ/molの高い発熱を示した。こ れは、メソ細孔内で AcHの凝縮だけでなく後述の化 学反応が起きていることによる。吸着量が 8.4mmol/g

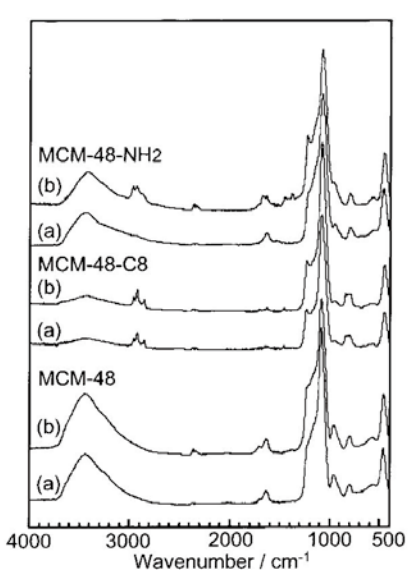


図 14 MCM-48とシリル化 MCM-48のアセトアルデヒド吸着に伴う IRスペクトル変化。(a)、吸着前;(b)、吸着後

図 15 MCM-48- NH_2 の細孔表面でのアセトアルデヒドの吸着と考えられる反応機構

以上で微分吸着熱は30kI/mol程度で一定になるが、 このときの AcHは、吸着量を液体の密度で容積に換 算すると、窒素吸着から求めた MSM-48-NH₂の細孔 容積以上に吸着している。図14にAcH吸着前後の MCM-48ならびに表面シリル化した MCM-48の IRス ペクトルを示す。AcH吸着前の MCM-48は次の吸収 帯が観察される。: 3440 cm⁻¹ (吸着水ならびに水素結 合している O-Hの伸縮)、1640 cm⁻¹ (吸着水の O-H変 角)、 $1250 \sim 1000 \,\mathrm{cm}^{-1}$ (シロキサンの Si-O伸縮)、 970 cm⁻¹ (シラノールと H₂O間の変角)、800 cm⁻¹ (ジェミナルシラノールの面内変角)¹⁴⁾。MCM-48に AcHが吸着すると、新たに AcHの C=O伸縮振動が 1720 cm⁻¹に観察される ¹⁵⁾。これは AcHが MCM-48表 面に単に物理吸着していることを示しており、微分吸 着熱測定の結果と一致する。MCM-48-C8は MCM-48 で観察された吸収帯のほかに 2962 cm⁻¹ (CH₂非対称 伸縮)、2930 cm⁻¹ (CH₂非対称伸縮)、2860 cm⁻¹ (CH₃ 対称伸縮)が観察される。3440 cm⁻¹の吸収帯の強度 が小さいのは、表面シラノールがシリル化で減少し、 表面が疎水性になったことによる。吸着後のスペクト ルは AcHの吸着量が少ないため、吸着前と顕著な差 異はみられない。

吸着前の MCM-48-NH₂の IRスペクトルは、固定化されたメチル基とメチレン基の C-Hの対称伸縮振動に帰属される吸収帯が 2970~ 3000 cm¹に観察された。 AcHを吸着すると、この吸収帯のほかに、メチル基とメチレン基の対称変角振動がそれぞれ 1378と 1455 cm¹に出現する。これらのほかに、 α , β -不飽和アルデヒド中の C=Oの伸縮振動に帰属される吸収帯が新たに 1678 cm¹に出現する。AcHの C=O伸縮振動

は $1730\,\mathrm{cm}^{-1}$ に出現するはずだが、 $A\mathrm{cHW}$ 着後の MCM - $48\mathrm{-NH}_2$ には観察されない。こうした IR の測定 結果に基づき、 MCM - $48\mathrm{-NH}_2$ の表面上で図 15のような次の一連の反応が起こっていると考えられる。: $2\mathrm{-}$ アミノプロピル基の 1級アミノ基は塩基性を示すことから、 AcHO α - $\mathrm{-}$ 水素と相互作用してエノラートアニオン($\mathrm{CH}_2\mathrm{CHO}$)を生じる。 $\mathrm{CH}_2\mathrm{CHO}$ は他の AcH とアルドール縮合して $2\mathrm{-}$ ブタナール(クロトナルアルデヒド、 $\mathrm{CH}_3\mathrm{C}=\mathrm{CHCHO}$)を生じる。この $2\mathrm{-}$ ブタナールが更に他の AcH と交差アルドール反応をして α , β - $\mathrm{-}$ 不飽和アルデヒドを生成する。図 13に示した吸着量 $8.9\,\mathrm{mmol/g}$ まで続く高い発熱は、メソ細孔内で AcH P NH_2 CHO P \mathrm

2.4 多孔性有機金属錯体 MOF-5、ELM-11のメタン 吸着

多孔性金属錯体(PCP、MOF)は遷移金属・金属酸化物イオンと有機配位子が連結して構成され、規則的な配位子の配列を反映した規則的な細孔構造を持つ多孔体である。このため配位子の配列により細孔構造、細孔表面の化学組成は変化し、気体分子の吸着特性も大きく変化する。代表的な MOFである、MOF-5とELM-11への高圧メタン吸着特性について吸着ミクロカロリーで検討した。

 bipyridine))は Cu^{2+} にビピリジンと BF_4 が配位してできる 2次元網目構造が積層した構造を持つ $^{17)}$ 。網目の大きさは $0.77~\text{nm} \times 0.77~\text{nm}$ のミクロ孔である。この網目構造が a,b方向に半周期ズレて積層しているため、網目のミクロ孔に各層の配位子が重なってしまいミクロ孔として機能しない。しかし、気体の圧力が一定の値以上になると、この 2次元網目の重なりが広がり、ガスがミクロ孔内に拡散して吸着するようになる(ゲート型吸着)。これら 2種類の MOFをそれぞれ423 K、1~mPa、12~h前処理した後にメタンを 203~K、243~K、298~Kの各温度、圧力範囲 $0\sim 8~\text{MPa}$ で測定した $^{7)}$ 。

図 16に各温度での MOF-5のメタン吸着等温線を示す。吸着温度が低いほど同一平衡フガシティでの表面過剰量(吸着量)が大きい。約 3.2 MPaでの表面過剰量(吸着量)は温度が 298 Kから 203 Kに低下すると 9.4 mmol/gから 29.2 mmol/gに増加した。3.2 MPa、203 Kのとき MOF-5の細孔中に吸着しているメタンの密度は 0.40 g/mLであり、臨界点(190.5 K)における密度の 0.16 g/mLよりも高く、むしろ沸点(111 K)のときの密度 0.42 g/mLに近い。これは、メタンが MOF-5のミクロ孔内に密に吸着していることを示している。

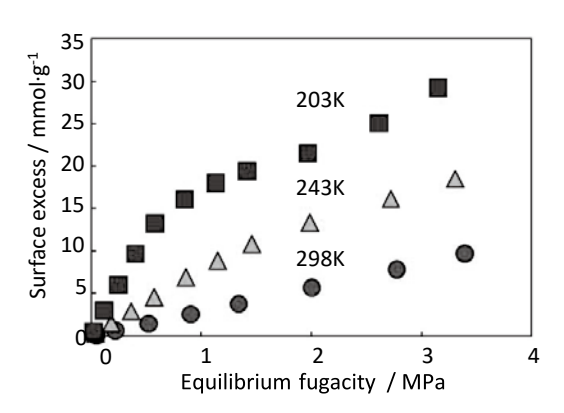


図 16 MOF-5のメタン吸着等温線

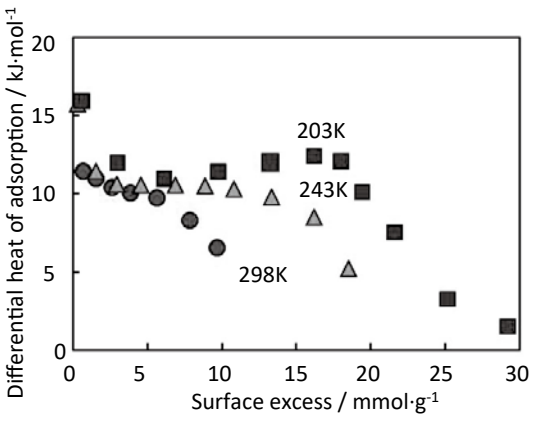


図 17 MOF-5の微分吸着熱

MOF-5の微分吸着熱は、図 17に示すように吸着量 がごく少ないときに 12~16 kJ/molであり、吸着量が おおよそ5~15 mmol/gの範囲で10~12 kJ/mol程度 で一定になった。Arと N₂吸着の場合は MOF-5の吸着 サイトが5種類ある。メタンの吸着サイトも同様であ ろう。相互作用が最も大きいのは α (CO₂)₃サイトで あり、吸着質はカルボキシラートイオンの2つの酸素 と相互作用する。 α (CO₂)₃サイトは単位胞当たり 5.5 mol/gあり、これは図 18の 203 Kでの吸着におい て高い微分吸着熱を発生する吸着量に一致する。従っ て、この吸着初期の高い発熱はα(CO₂)₃サイトへの 吸着であろう。同様につぎに相互作用の強い β (ZnO)₃サイト数は5.5 site/unit cell、そのつぎに強い サイト γ (ZnO) $_2$ が 11 site/unit cellある。このうち α $(CO_2)_3 + \beta (ZnO)_3$ の合計は11.5 mol/gであり、243 K での 10~12 kJ/mol程度で一定だった吸着熱が減少し 始めるときの吸着量におおむね一致する。ELM-11の 吸着等温線は、図 18に示すように 298 Kでは 0.6 MPa までメタンを全く吸着しないが、それ以上のフガシ ティになると、徐々に吸着するようになる。従って、 298 Kのメタン吸着の場合は 0.6 MPaがゲート圧であ る。このゲート圧は温度が下がるにつれて低くなり、 188 Kのときゲート圧は 0.3 MPになる。また、温度が

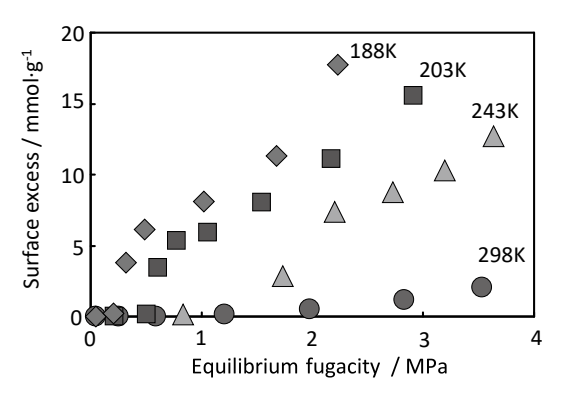


図 18 ELM-11の吸着等温線

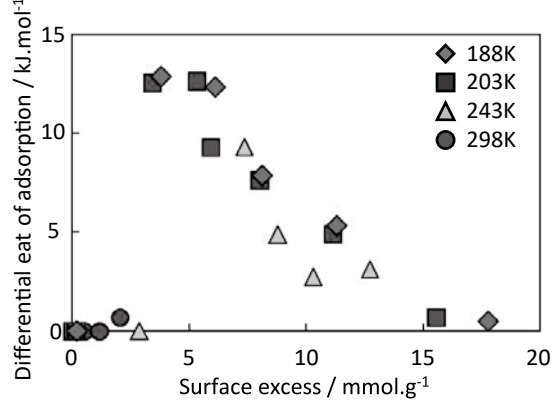


図 19 ELM-11の微分吸着熱

下がるにつれて、吸着等温線の膝(屈曲点)が明瞭になる。188 Kと 203 Kでの吸着等温線では、屈曲点はおおむね吸着量が 6 mmol/g付近で一定であり、後述するように微分吸着熱が最大となる吸着量ならびに吸着質と最も強く相互作用するであろう吸着サイトの数(5.5 mmol/g)によく一致する。

ELM-11の微分吸着熱は図19に示すように非常に興味ある結果を与えた。即ち何れの吸着温度でも、吸着初期においては吸着が起きているにもかかわらず、微分吸着熱が発生しない。例えば、188 Kでの吸着の場合、吸着量が1.6 mmol/gまでは微分吸着熱が観察されない。この吸着が起きているのに微分吸着熱が観察されない領域は吸着温度によって異なるが ELM-11に特有の現象である。こうした変化から、ゲート圧近くで吸着して発生した熱は、2次元網目の積層が膨張するときの構造転移エネルギーとして使われるとみられる。吸着の進行とともに2次元網目間は広がり、やがて発生する微分吸着熱が網目を広げる転移エネルギーを上回ったときに発熱が観察されると考えられる。

以上のように剛直な構造を持った MOF-5と柔軟な構造の ELM-11では吸着等温線が異なるだけでなく、微分吸着熱の変化も異なる。MOF-5では、細孔構造に基づくミクロ孔内に高密度でメタンが充填されることが分かった。ELM-11では、吸着により構造転移が誘起され、その転移に吸着熱が使われることが示唆される。

3. おわりに

吸着ミクロカロリメトリーを中心とした多孔性固体の吸着機構の解明に関する研究例を紹介した。吸着ミクロカロリメトリーで観測する熱は、気体と多孔体からなる系の中で起こった、吸着、脱着、反応、固体構造変化などいろいろあった結果として出てくるものであり、その"いろいろ"が何かが分からないと吸着機構の本質が見えてこない。そのため吸着ミクロカロリメトリーで巨視的な熱を測定し、"いろいろ"何が起きているかをほかの方法、特に分光法などの微視的な方法で調べることで、吸着機構の理解につながる。

[謝辞]

今回紹介した研究は、以下の元学生の皆さんと一緒 に行ったものです。記して謝意を表します。趙建新さ ん、佐々木辰雄さん、伊藤武志さん。

[参考文献]

- 1) A Matsumoto, K. Kaneko, *J. Chem. Soc.*, *Faraday Trans 1*, **85**, 3437 (1989).
- 2) A. Matsumoto, K. Kaneko, *Langmuir*, **6**, 1202 (1990).
- 3) A. Matsumoto, K. Tsutsumi, K. Kaneko, *Langmuir*, **8**, 2515 (1992).
- 4) K. Hasegawa, A. Matsumoto, AIP Proceedings

- Series, 1865 020002 (2017).
- 5) A. Matsumoto, T. Sasaki, N. Nishimiya, K. Tsutsumi, *Langmuir*, 17, 41 (2001).
- 6) A Matsumoto, K Tsutsumi, K Schumacher, K. Unger, *Langmuir*, **18**, 4014 (2002).
- 7) A. Matsumoto, T. Ito, *Characterisation of Porous Solid VIII*, 118, DOI https://doi.org/10.1039/9781 847559418 Royal Society of Chemistry (2009).
- 8) A. Matsumoto, Jian-xin Zhao, K. Tsutsumi, *Langmuir*, 13, 496 (1997).
- 9) T. Lee, W.-C. Tan, A. Matsumoto, F.-Y. Yeoh, *Ads. Sci. Tech.*, **33**, 263 (2015).
- 10) D. M. Young, A. D. Crowel, *Physical Adsorption of Gases*; Butterworth, London, Ch. 1, 2 (1962).
- 11) S. J. Gregg, K. S. W. Sing, Adsorption Surface Area and Porosity, 2nd Ed.; Academic Press, London, Ch. 1 (1982).
- 12) F. Rouquerol, J. Rouquerol, K. S. W. Sing, *Adsorption by Powders and Porous Solids*; Academic Press, London, Ch. 2, 3 (2014).
- 13) A. Monnier, F. Schueth, Q. Huo, D. Kummer, D. Margolese, R.S. Maxwell, G.D. Stuckey, M. Krishnamurty, P. Petroff, A. Firouzi, M. Janikce, B.F. Chmelka, *Science*, 261, 1299 (1993).
- 14) Vansant, E. F.; van der Voort, P.; Vrancken, K. C. *Stud. Surf.*. *Sci. Catal.* **93**, 59 (1995).
- 15) Silverstein, R. M.; Bassler, G. C.; Morril, T. C. Spectroscopic Identification of Organic Compounds, 5th ed.; Wiley: New York, Chapter 3 (1981).
- J.L.C. Roswell, E.C. Spencer, J. Ecker, T.A.K. Howard, O.M. Yaghi, *Science*, 309, 573926, 1350 (2005).
- 17) A. Kondo, H. Noguchi, S. Ohnishi, H. Kajiro, A. Tohdoh, Y. Hattori, W.-C. Xu, H. Tanaka, H. Kanoh, K. Kaneko, *Nano Lett*, **6**, 2581 (2006).



まつもと・あきひこ

[経歴] 1990千葉大学大学院自然 科学研究科修了(学術博士)。そ の後連合王国原子力公社 Harwell 研究所 客員研究者、豊橋技術科 学大学助手、助教授を経て 2009 年から現職。(この間 1996 文部

省在外研究員ドイツ、マインツ大学、1999 ドイツ学 術交流会招待研究者)[専門]界面化学、吸着科学 [趣味] 読書、登山。[連絡先] 〒 441-8580 豊橋市天伯 町雲雀ヶ丘1-1 (勤務先)

技術賞受賞記念寄稿

ヘリュームガスを使用しない 高精度マノメトリック式 ガス吸脱着量測定装置の開発

Development of a high-precision manometric gas adsorption/desorption measurement instrument without helium gas

マイクロトラック・ベル株式会社 MicrotracBEL Corp.

> 重岡 俊裕、仲井 和之 T. Shigeoka, K. Nakai

1. はじめに

近年、多孔性配位高分子 (PCPs)/金属有機構造体 (MOFs) やポーラスシリカ、多孔性カーボン、ゼオライトをはじめとした様々な機能性材料の開発がされている。これらの材料を評価するにあたって、重要なキャラクタリゼーションとして吸着等温線測定が挙げられる。

吸着等温線測定法としてマノメトリック法(定容量法)・重量法・パルス法・流動法(流通法)などが挙 げられるが、特に、操作が簡単で安価かつ高精度に測 定出来る方法として、マノメトリック法が広く使用さ れている。

マノメトリック法は吸着によって生じた圧力変化から吸着量を得る手法であり、その過程において試料が含まれる空間の容積値(フリースペース・死容積)が必要となる。フリースペースを得るには非吸着性のガスが必要となり、多くの場合、ヘリウムガスが用いられる。昨今、ヘリウムはプラントの生産トラブル、政情不安から供給が不足している一方で、中国等における需要の急拡大から、供給が需要に追いつかず安定的な入手が困難になってきている。

我々はヘリウムを使用せずに吸着等温線測定を完結させる手法である Advanced Free Space Measurement 2 (特許第 7082596 号)を開発した。本稿では、AFSMTM および新技術 AFSM2TMの原理の説明および、AFSM2TMによって測定されたデータについて報告する。

2. 測定原理

2.1. フリースペースの測定原理

マノメトリック法の場合、使用する試料管や試料量によってフリースペースの値が測定毎に変化する。マノメトリック法で、吸着温度が低温の場合や測定範囲が高圧にわたる場合、吸着質の非理想性を計算に考慮する必要がある。非理想性はガスの温度や圧力に依存

するため、フリースペースをマニホールド温度($T_{\rm RT}$)領域と吸着温度($T_{\rm AT}$)領域に二分する。その際、マニホールド温度におけるフリースペース測定結果と、試料を吸着温度に冷却した際のフリースペース測定結果の連立方程式を用いて計算を行う。

図 1に示す構成において、通常、吸着温度におけるフリースペースは以下の手順にて測定を行う。容積 (V_{ma}) 既知のマニホールド部にフリースペース測定ガスを導入し、圧力を記録する (P_{man}^{i}) 。 試料部直上のバルブ Cを開け、ガスを拡散させ、バルブ Cを閉じる。 拡散後のバルブ閉状態における圧力をそれぞれ P_{man}^{e} , P_{nan}^{e} , $P_{nan}^{$

$$V_{\text{fs,AT},n}^{\text{smp}} = \frac{(P_{\text{ma},n}^{\text{i}} - P_{\text{ma},n}^{\text{e}}) \times V_{\text{ma}} + P_{\text{fs,n-1}}^{\text{e}} \times V_{\text{fs,AT},n-1}^{\text{smp}}}{P_{\text{e},n}^{\text{e}}}$$
(1)

この操作を繰り返し行い、平均値を吸着温度におけるフリースペース値($V_{\text{fight}}^{\text{simp}}$)とする。

室温におけるフリースペース測定においても同様に 次式が成り立つ。

$$V_{\text{fs,RT},n}^{\text{smp}} = \frac{(P_{\text{ma},n}^{\text{i,R}} - P_{\text{ma},n}^{\text{e,R}}) \times V_{\text{ma}} + P_{\text{fs,n}-1}^{\text{e,R}} \times V_{\text{fs,RT},n-1}^{\text{smp}}}{P_{\text{fs,n}}^{\text{e,R}}}$$
(2)

同様に平均値を室温におけるフリースペース値 $(V_{\rm MP})$ とでき、この値は吸着測定においてマニホールド温度部分の容積となる $V_{\rm R}$ と吸着温度部分の容積となる $V_{\rm L}$ に分けることが出来る。すなわち、下式が成り立つ。

$$V_{\text{fs,RT}}^{\text{smp}} = V_{\text{R}} + V_{\text{L}} \tag{3}$$

(1)式で得られた吸着温度におけるフリースペースの値からは(4)式が得られる。

$$V_{\text{fs,AT}}^{\text{smp}} = V_{\text{R}} + V_{\text{L}} \times \frac{T_{\text{RT}}}{T_{\text{AT}}} \tag{4}$$

(3)式と(4)式の連立方程式により、 $V_{\rm R}$ と $V_{\rm L}$ をそれぞれ算出することができる。

$$V_{L} = \left(V_{\text{fs,AT}}^{\text{smp}} - V_{\text{fs,RT}}^{\text{smp}}\right) \times \frac{T_{\text{AT}}}{T_{\text{RT}} - T_{\text{AT}}} \tag{5}$$

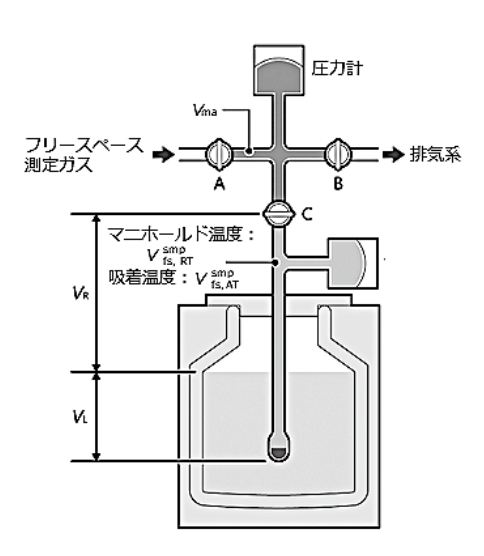


図1 マノメトリック法吸着量測定装置 イメージ

$$V_{\rm R} = V_{\rm fs,RT}^{\rm smp} - V_{\rm L} \tag{6}$$

吸着測定中は、 V_R と V_L に対してそれぞれの温度・圧力に応じた非理想性を考慮し、吸着量計算を行う。

2.2. フリースペース変化の測定原理

液体窒素のように気化する冷媒を使用している場合、測定時間の経過に伴い、液面が変化する。また気圧の変化により液体窒素そのものの温度が変化する。そのような液面変化や温度変化が生じると、フリースペース値が変化するため、冷媒を少しずつ補充・デュワー瓶の高さを上昇させるなど、試料部における液面の高さが変動しないように様々な工夫が行われてきた。

弊社では、AFSM と呼ぶ独自の液面変化の補償方法を用いて、液面・温度変化によって発生するフリースペース変化を実測取得し、吸着量測定の高精度化を実現してきた $^{1),2}$ 。本方法はヘリウムフリー条件における測定(AFSM2)でも使用する技術であるため、改めて以下に記載する。

圧力計を備えたポートにフリースペース変化測定用のリファレンス管(測定に使用する試料管と同径の空の試料管)を測定用の試料管と並べて冷媒に浸漬する(図 2)。吸着測定中は、リファレンス管内はガスを封じきった状態とし、刻々と変化するリファレンス管の圧力値を $V_{\rm fs}$ の変化率に換算する。事前にリファレンス管のフリースペースがわかっていれば、リファレンス管内で発生した圧力値の変化は容積の変化として導出できる。

すなわち、ある高さの液面 1のリファレンス管容積 $(V_{\text{si}}^{\text{re}})$ と一定時間経過後の液面 2のリファレンス管の容積 $(V_{\text{si}}^{\text{re}})$ の関係は各時点でのリファレンス管内の圧力値 $(P_{\text{ref}}^{\text{ref}}, P_{\text{ref}}^{\text{ref}})$ より、以下の通りとなる。

$$V_{\text{fs2}}^{\text{ref}} = V_{\text{fs1}}^{\text{ref}} \times \frac{P_{\text{fs1}}^{\text{ref}}}{P_{\text{fs2}}^{\text{ref}}}$$

$$\Delta V_{\text{fs}}^{\text{ref}} = V_{\text{fs2}}^{\text{ref}} - V_{\text{fs1}}^{\text{ref}}$$
(7)

試料管とリファレンス管は同径であることから、両者のフリースペース変化は等しい($\Delta V_{is}^{ref} = \Delta V_{is}^{smp}$ 、弊社データより \pm 0.2%以内)ため、液面 2における試

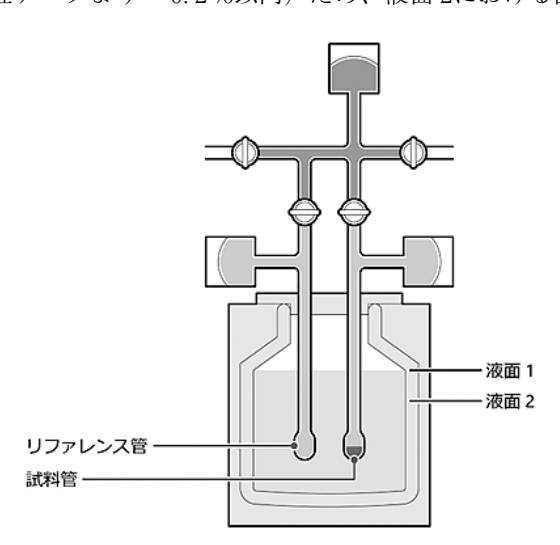


図2 リファレンス管を使用したフリースペース 変化量測定イメージ

料管のフリースペース V_{62}^{sup} は以下の式で表すことができる。

$$V_{\text{fs,2}}^{\text{smp}} = V_{\text{fs,1}}^{\text{smp}} + \Delta V_{\text{fs}}^{\text{smp}}$$

$$= V_{\text{fs,1}}^{\text{smp}} + \Delta V_{\text{fs}}^{\text{ref}}$$
(8)

この方法により、吸着測定中に変化する液面の違いによるフリースペース変化を吸着量計算に適用することができ、過去20年にわたり信頼性の高いデータの取得を可能としてきた。

2.3. ヘリウムを使用しないフリースペースの測定

AFSM2はヘリウムを使用せずに、窒素などの吸着質を用いて吸着測定前にフリースペースを事前に取得しておき、そのフリースペースと上述のAFSMによって得られた液面高さによるフリースペース変化の補正を用いて吸着測定を行う手法である。吸着媒の入っていない(ブランク状態の)試料管において、吸着質によりマニホールド温度および吸着温度においてフリースペース測定を行い、その値から吸着媒の占める容積を差し引くと、フリースペースが得られる。

事前にフリースペースを測定した際に用いた試料管とリファレンス管の組み合わせが同じであれば、液体窒素等の液面を事前測定時と吸着測定時で合わせる必要は無く、両測定間の液面高さの違いはリファレンス管の容積差から換算することができる。また、一度測定したフリースペースの値は同一条件(吸着温度やリファレンス管と試料管の組み合わせなどが同一)であれば、使用し続けることができる。ただし、フリースペースを取得する際に吸着質が試料管自体に吸着しうる場合(77 Kにおける Kr 吸着など)は、吸着質に代わり窒素ガスなどを使用することに留意する。

事前のフリースペース測定時における液体窒素の液面高さを図 2の液面 1の状態であると仮定し、そのときのブランク試料管のフリースペースを $V_{\rm fall}^{\rm Min}$ 、リファレンス管のフリースペースを $V_{\rm fall}^{\rm Min}$ とする。一方、吸着測定時における液体窒素の液面高さを図 2の液面 2の状態であると仮定すると、リファレンス管のフリースペースとして $V_{\rm fall}^{\rm Min}$ が求められる。事前のフリースペース測定時と吸着測定時で同一のリファレンス管を使用していれば、両測定間の液面高さの違いによるフリースペースへの影響 $\Delta V_{\rm fall}^{\rm Min}$ は以下の式で表すことができる。

$$\Delta V_{\text{fs}}^{\text{level}} = V_{\text{fs,2}}^{\text{ref}} - V_{\text{fs,1}}^{\text{ref}} \tag{9}$$

吸着測定時には、試料管に試料(質量: m^{smp}/g 、密度: $\rho^{\text{smp}}/\text{gcm}^3$)が入るため、吸着温度における試料管のフリースペース $V^{\text{smp}}_{\text{kg}}$ は液体窒素の液面高さの違いを含めて、下式で表すことができる。

$$V_{\text{fs,2}}^{\text{smp}} = V_{\text{fs,1}}^{\text{blank}} - \frac{m^{\text{smp}}}{\rho^{\text{smp}}} \times \frac{T_{\text{RT}}}{T_{\text{AT}}} + \Delta V_{\text{fs}}^{\text{level}}$$
(10)

(10)式により、吸着測定開始時の液面高さの調整を行わなくても、吸着測定時の試料管のフリースペースを実測することなく、フリースペースの値を算出することができる。前述の通り、フリースペースは液面高さに応じて刻々と変化するが、各時点での ΔV_s^{level} によっ

て常に計算を行うことにより、フリースペースを正確 に求めることができる。

同様に、試料存在下におけるマニホールド温度でのフリースペース $V_{is}^{snp,RT}$ は、事前測定時のブランク試料管の室温フリースペースの結果から次のように求めることができる。

$$V_{\rm fs}^{\rm smp,RT} = V_{\rm fs}^{\rm blank,RT} - \frac{m^{\rm smp}}{\rho^{\rm smp}}$$
 (11)

 $(5)\cdot(6)$ 式に、上記 $(10)\cdot(11)$ 式を代入することによって、温度領域ごとの容積値を分割することができる。

本手法は吸着測定中のフリースペース測定とそれに伴う排気時間が不要(図3)となるため、慎重な排気を必要とする粉体試料の測定を行う場合、1測定あたり40分以上の測定時間短縮も可能となる。

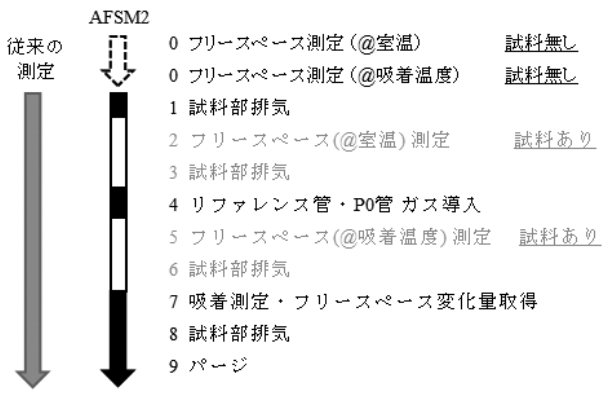


図3 AFSM2による測定フロー

2.4. リファレンス管が破損・紛失した場合の校正機能

AFSM2において、各試料管のフリースペース値はフリースペース測定時のリファレンス管に紐付けられている。リファレンス管のフリースペース値は液面高さの情報に直結するため、リファレンス管の破損や紛失が発生すると、同一リファレンス管に紐付けられたすべての試料管において正しいフリースペースを得ることが出来なくなる。これを防ぐため、事前にフリースペースを測定した試料管を用いて、新たなリファレンス管との組み合わせで各試料管のフリースペースを再校正する機能を開発した。

再校正前後のフリースペース値を表1に示す。この例では、サンプルセルID:3の試料管に紐付けられたリファレンス管ID:10が破損し、使用できなくなったと仮定する。再校正を行わない場合、リファレンス管ID:10に紐付けられている、サンプルセルID1,2および7~9のすべての試料管において、液面の高さ違いによるフリースペースの補正ができなくなる。

サンプルセル ID:3に紐付けられているリファレンス管の容積($V_{\rm fs}^{\rm 3ref}$)と、各サンプルセル ID(ID:k)に紐付けられているリファレンス管 ID:10同士のリファレンス管の容積差を $\Delta V_{\rm fscal}^{\rm Aref}$ とすると、その差は(13)式で表すことができ、これは液面高さの違いによる容積差を示す。

$$\Delta V_{\text{fscal}}^{k,\text{ref}} = V_{\text{fs}}^{k,\text{ref}} - V_{\text{fs}}^{3,\text{ref}} \tag{13}$$

吸着温度におけるフリースペースが既知の試料管(ここでは、ID:3)を用いて、再度フリースペースを測定すると、測定誤差を無視すると、得られたフリースペースの差($\Delta V_{fs,cal}^{blank}$ 、(14式)は液面高さの違いによるものである。

$$\Delta V_{\text{fs,cal}}^{\text{blank}} = V_{\text{fs,after}}^{\text{blank}} - V_{\text{fs,before}}^{\text{blank}} \tag{14}$$

このとき、新しいリファレンス管(ID:15)のフリースペース測定を同時に実施して、新たにリファレンス管のフリースペース $V_{\rm fs}^{\rm 3refnew}$ が得られたとすると、(15)式により再校正したリファレンス管の容積を各試料管に紐付けなおすことができる。

$$V_{\rm fs}^{k,\rm ref,new} = V_{\rm fs}^{3,\rm ref,new} + \Delta V_{\rm fs,cal}^{k,\rm ref}$$
 (15)

すなわち、各試料管の測定時に含まれる液面高さの違いによる容積差($\Delta V_{\rm fscal}^{\rm kref}$)は残しつつ、新しいリファレンス管の容積($V_{\rm fs}^{\rm 3.ref,new}$)に紐付けるという操作となる。

これらの計算を用いて、各試料管の値は一度のフリースペース測定で表1の再校正後のようにすべて算出することができる。

表1 フリースペース再校正時の計算式

再校正前

サンブルセル ID	リファレンス管 ID	$V_{ m fs}^{ m blank}$	$V_{ m fs}^{ m ref}$
1	10	V_{fs}^{1}	$V_{ m fs}^{ m 1,ref}$
2	10	V_{fs}^{2}	$V_{ m fs}^{2,{f ref}}$
3	10	V_{fs}^{3}	$V_{ m fs}^{ m 3,ref}$
7	10	V_{fs}^{7}	$V_{ m fs}^{7,{f ref}}$
8	10	$V_{\mathrm{fs}}^{ \mathrm{g}}$	$V_{ m fs}^{ m 8,ref}$
9	10	V_{fs}^{9}	$V_{ m fs}^{ m 9,ref}$

再校正後

サンブルセル ID	リファレンス管 ID	$V_{ m fs}^{ m blank}$	$V_{ m fs}^{ m ref}$
1	15	$V_{ m fs}^{1} + \Delta V_{ m fs,cal}^{ m blank}$	$V_{\rm fs}^{\rm 3,ref,new} + \Delta V_{\rm fs,cal}^{\rm 1,ref}$
2	15	$V_{\mathrm{fs}}^2 + \Delta V_{\mathrm{fs,cal}}^{\mathrm{blank}}$	$V_{\mathrm{fs}}^{2,\mathrm{ref,new}} + \Delta V_{\mathrm{fs,cal}}^{2,\mathrm{ref}}$
3	15	$V_{ m fs,new}^{ m 3}$	$V_{ m fs}^{ m 3,ref,new}$
7	15	$V_{\mathrm{fs}}^7 + \Delta V_{\mathrm{fs,cal}}^{\mathrm{blank}}$	$V_{\mathrm{fs}}^{2,\mathrm{ref,new}} + \Delta V_{\mathrm{fs,cal}}^{7,\mathrm{ref}}$
8	15	$V_{\mathrm{fs}}^{ 9} + \Delta V_{\mathrm{fs,cal}}^{ \mathrm{blank}}$	$V_{\mathrm{fs}}^{2,\mathrm{ref,new}} + \Delta V_{\mathrm{fs,cal}}^{2,\mathrm{ref}}$
9	15	$V_{ m fs}^9 + \Delta V_{ m fs,cal}^{ m blank}$	$V_{\mathrm{fs}}^{3,\mathrm{ref,new}} + \Delta V_{\mathrm{fs,cal}}^{9,\mathrm{ref}}$

3. AFSM2™によるフリースペース測定精度

フリースペース測定に使用するガス種によるフリースペース測定結果において、ヘリウムと窒素のそれぞれのガス種において、各ポートで15回のフリースペース測定結果のばらつきを評価すると、F検定より、両者に差は無いと判断できた(有意水準5%で帰無仮説【ヘリウムと窒素の測定結果の母分散が等しい】が棄却できない。P値0.07以上)。一方で、平均値は0.03 cm³の差異が生じたが、これによる吸着量測定誤差は微々たる量である。

測定毎の液面高さの違いによるフリースペースの差 を適切に補正できていることを確認するため、同一の

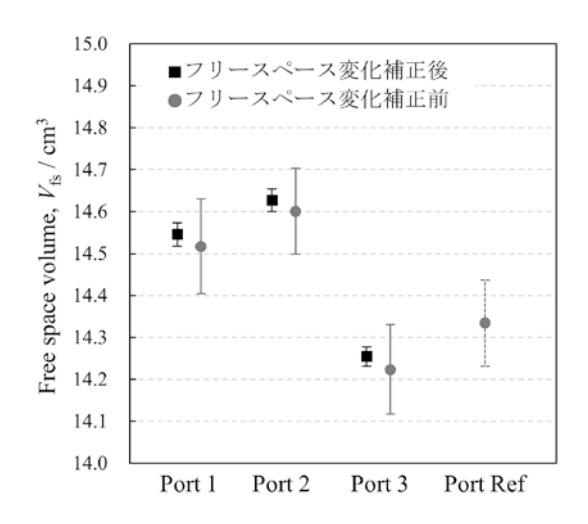


図4 液面高さの補正有無によるフリースペース値の違い

試料管・同一のリファレンス管において、液面高さの変化を含んだ状態でフリースペースを測定した。リファレンス管によるフリースペース変化の補正を実施しない場合、0.3 cm³程度(1.5 cm程度の液面高さの違いに相当する)のフリースペース誤差が生じていたが、リファレンス管を用いた補正により、±0.03 cm³程度の再現性に収まった(図 4)。AFSMによるフリースペース値の補正により、測定間の誤差を最小化することができた。

4. AFSM2™による吸着量測定精度

4.1. 大気圧以下の測定における吸着量測定への適用結果

AFSM2で事前に測定したフリースペースの値を用いて、黒鉛化カーボンブラック(#3845、東海カーボン㈱製)の窒素吸着等温線測定を行った。結果の一部(5回の繰り返し測定結果)を図5に示す。吸着等温線(15データ)において、比表面積値の95%信頼区間は0.5%以内となり、高い再現性が得られた。

比表面積の小さい試料である α -アルミナ(BCR-170、 JRC(欧州委員会)、比表面積: $1.05\,\mathrm{m}^2\mathrm{g}^{-1}$)および前

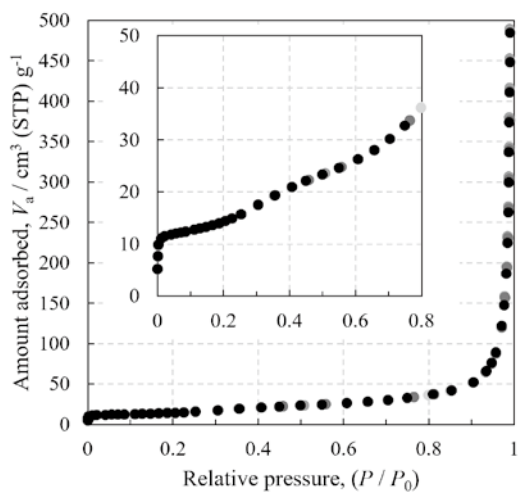


図 5 黒鉛化カーボンブラック - 窒素吸着等温線(77 K、5データ)

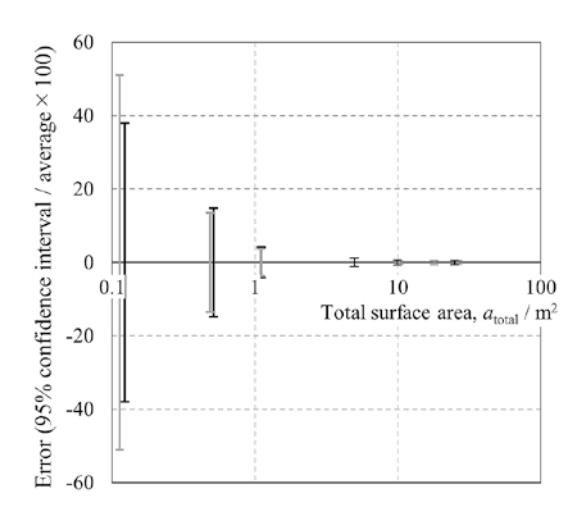


図6 全表面積に対する吸着量測定精度

述の黒鉛化カーボンブラック#3845(比表面積:49.52 m²g¹)の試料質量を変化させ、全表面積の違いによる測定精度を算出した結果を図6に示す。各質量に対して、測定回数は5回ずつである。AFSM2による測定と、各測定時にフリースペースを取得する測定(以降、通常の測定と記載)間において、F検定より、両者に差は無いと判断できた(有意水準5%で帰無仮説【AFSM2と通常の測定の間で母分散が等しい】が棄却できない。P値0.06以上)。

これらの結果より、吸着量測定において、AFSM2 によりヘリウムフリーで安定した吸着測定が可能であることが示された。

4.2. 大気圧以上の測定における吸着量測定への適用結果

高精度ガス/蒸気吸着量測定装置 BELSORP MAX X HP(図7)は大気圧以下の測定に加え、0.9 MPa までの高圧吸着量が測定可能な装置である。大気圧以上における AFSM2の有用性を確認するため、粒状活性炭(白鷺 LH2c20、大阪ガスケミカル(株))の液体窒素を冷媒として 77 Kにおける水素吸着を、通常の測定と AFSM2を用いた測定により測定した。

測定結果を図8に示す。通常の測定結果(吸着測定前:フリースペースを吸着測定前に実施した場合、吸脱着測定後:フリースペースを吸脱着測定の完了直後に実施した場合)とAFSM2による測定間において吸



図7 BELSORP MAX X HP外観

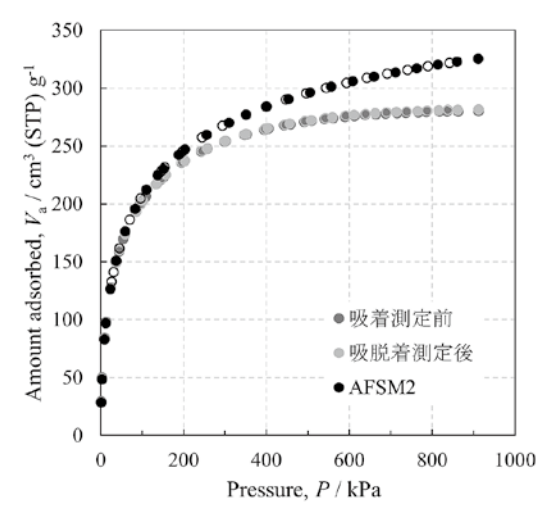


図8 活性炭 - 水素吸着等温線 (77 K)

着等温線の一致が見られなかった。

新規開発した AFSM2による測定結果と従来法である吸着測定前または吸脱着測定後にフリースペース測定を行った両測定において吸着量の減少が見られた。これはフリースペース測定の違いによるものであり、吸着測定前にヘリウムがトラップされたことによる吸着容積の減少ではない。

各測定において、得られたフリースペースの値を比 較すると、実測したフリースペースの値はブランクに おける事前測定時のフリースペースよりも大きい値が 得られていることが確認された(表2)。このとき、 リファレンス管のフリースペース値はほぼ一致してお り、液面の高さはフリースペース測定時において同等 である。したがって、試料を含んだ状態で実測した試 料セルのフリースペースのみが過大評価されたと判断 できる。空の試料管に対して試料が入ることから、容 積が拡大することは物理的にあり得ず、77 Kにおいて ヘリウムが活性炭のミクロ孔に吸着され、フリース ペースが過大評価して得られていることを示唆してい る。100 kPa付近までの測定であれば、フリースペー スの差はほとんど吸着量に影響を与えないが、高圧に なるほどフリースペースの測定誤差が与える吸着量差 は顕著になり、無視することができない。特に低温に おいて、ミクロ孔をもつ試料に対してはヘリウムによ る実測ではなく、AFSM2のように算出することが望 ましい。

表2 フリースペース値比較

試料セル フリースペース

地市积定			AFSM2測定時	事前測定時	
	吸着測定前	吸脱着測定後	AT SIME WILLIAM	争即侧定时	
	21.31	11 21.064	18.443	19.406	
		リファレンス管	フリースペース		

サファレンス官 フリースペーン

通常測定			AFSM2測定時	事前測定時	
吸着測定前 吸脱着測定後		則定後	AT SIMIZANIA NA	争即侧走呀	
2	0.069	19.902	19.997	20.030	

5. おわりに

我々が開発した AFSM2[™]はヘリウムを使用することなく、高精度に吸着量を測定可能であることを示した。ヘリウムフリーでの測定が可能なだけでなく、従来の AFSM単独による測定に匹敵する精度をもち、低温・高圧環境下ではより正確な吸着等温線測定が可能であることや、測定時間の短縮も実現できるなど様々なメリットを生む。

また、本手法はリファレンス管のフリースペースの違いから測定間における液面高さの違いを補正できるため、フリースペース測定時や吸着測定時に液面の高さを調整する必要が無く、測定のハンドリングも良好である。リファレンス管の紛失や破損時には再校正を実施することで予期せぬフリースペース値の喪失に関しても対策を実施した。

本稿では触れていないが、試料による排除体積を無視した容積値の情報が得られているため、ネット吸着量の算出も可能である。

多孔性材料の研究・開発の促進に本技術並びに弊社 製品が大いに役立つことを期待する。

「参考文献]

- 1) 吉田 将之、仲井 和之, Adsorption News, **21**, (4), 5 (2007)
- 2) 吉田 将之, Adsorption News, **30**, (3), 14 (2016)

経歴



1988年 4月

仲井 和之

1987年 3月 関西学院大学大学 院理学研究科

> 修 士 課 程 卒 業、 2001年博士(理学)

取得

1987年 4月 日本エム・ケー・ エス(株)入社

日本ベル(株)設立 取締役技術部長

2007年6月 (独理化学研究所客員研究員

2008年4月 信州大学 客員教授

2010年4月 日本ベル(株) 代表取締役社長

2014年 10月 マイクロトラック・ベル(株)

代表取締役社長 (現職)

2021年 1月 ヴァーダーサイエンティフィック(株) 代表取締役社長 (現職)

2

重岡 俊裕

2010年3月 信州大学大学院工

学系研究科修士課

程修了

2010年 4月 2014年 10月

日本ベル(株)入社 マイクロトラック・

ベル(株)技術部(現職)

関連学会のお知らせ

第38回日本キチン・キトサン学会大会

期: 2024年 8月 29日(木)~ 30日(金)

会 場:京都府立大学 稲盛記念会館、京都府立京都学・歴彩館

(〒 606-8522 京都市左京区下鴨半木町 1-5)

【交通】京都市営地下鉄 北山駅(K03)下車徒歩6分.

要 旨 集:本会会員に対して PDFにて事前配布

総 会:8月29日(約午後(予定)於 京都府立京都学·歴彩館

懇 親 会:8月29日(未)夜(会場未定)

参 加 申 込:大会 HP(5月中開設予定)から申し込みいただく予定です. **発 表 申 込**:大会 HP(5月中開設予定)から申し込みいただく予定です.

発表申込締切: 2024年 6月 17日(月)(予定) **発表要旨締切**: 2024年 6月 17日(月)(予定)

第36回イオン交換セミナー

テーマ:「挑戦するイオン交換 VIII」

主 催:日本イオン交換学会

協 **賛**:日本化学会、日本分析化学会、高分子学会、電気化学会、日本薬学会、

(予定) 日本原子力学会、日本生物工学会、環境科学会、日本海水学会、日本吸着学会、

日本膜学会、分離技術会、無機マテリアル学会、資源・素材学会、日本ゼオライト学会、化学工学会、

日本触媒学会、日本溶媒抽出学会、イオン液体研究会

日 時: 令和 6年 7月 19日金 10:00~17:00 懇親会 17:30~19:30

会 場:上智大学四ツ谷キャンパス(〒 102-8554 東京都千代田区紀尾井町 7-1)

図書館 9階 L-921室

JR中央線、東京メトロ丸ノ内線・南北線/四ッ谷駅 麹町口・赤坂口から徒歩 5分

<プログラム>

10:00~10:10 イオン交換セミナー開催挨拶

平山 直紀 氏(日本イオン交換学会会長:東邦大学)

10:10~11:10 「産業界におけるイオン交換技術の最近の動向(仮題)」

出水 丈志 氏 (室町ケミカル(株))

11:10~12:10 「イオン交換による放射性物質を含む水の処理(仮題)」

森 浩一氏(栗田工業株)

12:10~13:30 お昼休憩

13:30~14:30 「粘土系多孔質材料における二酸化炭素吸着性能について(仮題)」

鈴木 正哉 氏(産業技術総合研究所)

14:30~15:30 「ペルおよびポリフルオロアルキル化合物 (PFAS) 測定技術の最新動向と将来展望 (仮題)」

谷保 佐知 氏 (産業技術総合研究所)

15:30~15:50 休 憩

15:50~16:50 「分離場としてのイオン液体 ~変身した液状イオン交換体~ (仮題)」

平山 直紀 氏(東邦大学)

17:30~19:30 懇親会(13号館 304特別会議室 予定)

参加申込締切: 令和 6年 7月 5日金、参加費振込み締切 令和 6年 7月 12日金

請求書発行にはお時間を頂いておりますので、請求書ご希望の方は6月28日金までにお申し込みを

お願い致します。

参加申込方法:本会 Web(http://www.jaie.gr.jp)より「参加申込」フォームに必要事項をご記入の上、お申し込

み下さい。

参加費:(振込)本会会員·協賛学会会員5,000円、非会員8,000円、学生無料

(当日) 会員・非会員ともに 10,000円 (学生は予約外も無料です)

懇親会費:会員・非会員ともに6,000円、学生2,000円

参加費支払方法:郵便振替 加入者番号:00140-0-420380、加入者名:イオン交換セミナー

銀行振り込み 銀行名:ゆうちょ銀行、支店名:○一九(ゼロイチキュウ)店(019)、

預金種目: 当座、口座名称(漢): イオン交換セミナー、

口座名称 (カナ): イオンコウカンセミナー、口座番号: 0420380

問い合わせ先:長岡技術科学大学 量子原子力系 鈴木達也

TEL: 0258-47-9692, e-mail: tasuzuki@vos.nagaokaut.ac.jp

維持会員一覧

維持会員として、以下の企業各社にご協力を頂いております。

(令和6年4月現在、50音順)

株式会社アドール

エア・ウォーター株式会社

大阪ガス株式会社

オルガノ株式会社

株式会社キャタラー

栗田工業株式会社

株式会社重松製作所

株式会社島津製作所

株式会社西部技研

株式会社タカギ

帝人ファーマ株式会社

東洋紡株式会社

富士シリシア化学株式会社

マイクロトラック・ベル株式会社

株式会社レゾナックユニバーサル

株式会社アントンパール・ジャパン

MHIソリューションテクノロジーズ株式会社

大阪ガスケミカル株式会社

関西熱化学株式会社

株式会社クラレ

興研株式会社

システムエンジサービス株式会社

水 ing株式会社

大陽日酸株式会社

月島環境エンジニアリング株式会社

東ソー株式会社

ニチアス株式会社

フタムラ化学株式会社

三菱重工業株式会社

編集委員

委員長 向井 紳(北海道大学)

委 員 岩村振一郎(東北大学)

佐藤 弘志 (理化学研究所)

宮崎 隆彦(九州大学)

山本 拓司 (兵庫県立大学)

(五十音順)

大坂 侑吾(金沢大学)

田中 俊輔 (関西大学)

山根 康之 (大阪ガスケミカル株式会社)

余語 克則 (RITE)

Adsorption News Vol. 38 No. 1 (2024) 通巻 No.148 2024年 4月 30日発行

事務局 〒 162-0801 東京都新宿区山吹町 358-5アカデミーセンター

Tel: 03-6824-9370 Fax: 03-5227-8631 E-mail: info@j-ad.org

編 集 岩村振一郎 (東北大学)

Tel: 022-217-6378 Fax: 022-217-6379 E-mail: shinichiro.iwamura.b7@tohoku.ac.jp

日本吸着学会ホームページ https://www.j-ad.org/

印 刷 〒850-0875 長崎県長崎市栄町6-23 株式会社昭和堂

Tel: 095-821-1234 Fax: 095-823-8740

General Secretary

THE JAPAN SOCIETY ON ADSORPTION (JSAD)

Academic Center, 358-5, Yamabuki, Shinjuku, Tokyo, 162-0801, JAPAN

Tel: 03-6824-9370 Fax: 03-5227-8631 E-mail: info@j-ad.org

Editorial Chairman

Professor Shin R. MUKAI

Faculty of Engineering, Hokkaido University

N13W8, Kita-ku, Sapporo, Hokkaido 060-8628, JAPAN

Tel: +81-11-706-6590 E-mail: smukai@eng.hokudai.ac.jp

Editor

Shinichiroh IWAMURA, AIMR, Tohoku University

Katahira 2-1-1, Aoba-ku, Sendai, Miyagi, 980-8577, JAPAN

Tel: +81-11-217-6378 E-mail: shinichiro.iwamura.b7@tohoku.ac.jp

Home Page of JSAd: https://www.j-ad.org/

本誌に記載された著作物を許可なく複製・公開することを禁ずる。

© 2024 The Japan Society on Adsorption